

تعیین مقادیر بسیار ناچیز رانیتیدین در آب آشامیدنی، قرص، سرم خون و ادرار انسان با یک روش رنگ‌سنجدی برپایه تجمع نانوذره‌های طلا

مریم مرادی^۱، محمودرضا سهرابی^{۲*} و سعید مرتضوی‌نیک^۳

۱. دانشجوی دکتری شیمی تجزیه، دانشکده شیمی، دانشگاه آزاد اسلامی واحد تهران شمال، تهران، ایران

۲. استاد شیمی تجزیه، دانشکده شیمی، دانشگاه آزاد اسلامی واحد تهران شمال، تهران، ایران

۳. استادیار شیمی معدنی، دانشکده شیمی، دانشگاه آزاد اسلامی واحد تهران شمال، تهران، ایران

دریافت: دی ۹۸ بازنگری: تیر ۹۹ پذیرش: تیر

چکیده

این پژوهش روش ساده، حساس و سریع طیف‌سنجدی فرابنفش-مرئی برای تعیین مقادیر بسیار ناچیز داروی رانیتیدین (RAN) در برخی نمونه‌ها مانند آب آشامیدنی، قرص، سرم خون و ادرار انسان با به کارگیری نانوذره‌های طلا (AuNPs) را معرفی می‌کند. ویژگی تشدید پلاسمون سطحی (SPR) نانوذره‌های طلا و برهمکنش بین رانیتیدین و نانوذره‌های طلا پایه این روش است. افزودن رانیتیدین به نانوذره‌های طلا منجر به تجمع نانوذره‌ها شد. میکروسکوپ الکترونی عبوری (TEM) تجمع نانوذره‌های طلا در حضور رانیتیدین را اثبات کرد. همچنین، توزیع اندازه نانوذره‌ها با پراکندگی نور پویا (DLS) بررسی شد. عامل‌های موثر بر جذب مانند pH، نوع و حجم بافر، غلظت AuNPs، زمان برهمکش، قدرت یونی و بیون‌های مداخله‌کننده بررسی شد و شرایط بهینه بدست آمد. گستره خطی در شرایط بهینه ۰/۵ تا ۳۰ میکروگرم برلیتر بدست آمد. همچنین، ضریب تعیین (R^2) برابر با ۰/۹۹۵۵، حد تشخیص (LOD) و حد تعیین کمی (LOQ) به ترتیب برابر با ۱/۴۵ و ۱/۶۳ میکروگرم برلیتر بود. افزون‌بران، اثر گونه‌های مداخله‌کننده بررسی شد. درنهایت، نتیجه‌ها نشان داد که روش پیشنهادی از پتانسیل بالایی برای تعیین سریع، حساس و دقیق رانیتیدین برخوردار است.

کلمات کلیدی: رنگ‌سنجدی، رانیتیدین، نانوذره‌های طلا، تشدید پلاسمون سطحی، طیف‌سنجدی، مقادیر بسیار ناچیز

مقدمه

مهم‌ترین نگرانی‌های انسان است. زیرا این آلاینده‌ها موجب

تهدید محیط‌زیست و تاثیر بر زندگی موجودات زنده می‌شوند.

افزایش شدید تولید و مصرف آلاینده‌های آب در چند دهه

آلودگی دارویی و گسترش آن در محیط‌زیست خطر

بزرگی است که سلامت انسان و حیوانات را تحت شعاع قرار

می‌دهد. از دیدگاه زیست‌محیطی، مساله آلودگی آب، از

طلا در رنگ‌سنجدی است که برپایه تغییر رنگ از قرمز به آبی بوده، که به دلیل ویژگی رزونانس پلاسمون سطح (SPR) است برپایه این ویژگی، تجمع نانوذره‌ها باعث می‌شود رنگ قرمز محلول‌های نانوذره‌ها طلا به رنگ آبی تبدیل شود [۱۱]. افودن نانوذره‌ها طلا به آنالیت باعث به وجود آمدن سیگنال قوی در ناحیه مرئی شده که به سبب پیوند نانوذره‌ها طلا با آنالیت است و دیگر به روش‌های آماده‌سازی اولیه نیاز ندارد و می‌توان مقادیر بسیار ناچیز آنالیت را تعیین کرد، همچنین، نسبت به سایر روش‌های مشابه حد تشخیص به طور قابل توجهی کاهش می‌یابد [۱۲].

رانیتیدین^۷ N-[۲-۵]-[۲-(دی متیل آمینو) متیل]-۲-اتیلن دی فورانیل]-متیل[آبوا]اتیل]-N-متیل-۲-نیترو-۱-اتیلن دی آمین، (شکل ۱) یکی از داروهایی است که با این روش قابل تعیین است [۱۳ و ۱۴]. کاربرد اصلی آن در درمان زخم معده و گاستریت است. رانیتیدین برای درمان کوتاه مدت زخم‌های فعال دوازده‌ه و معده، ترشح بیش از حد اسید معده، برگشت محتویات معده به مری مورد استفاده قرار می‌گیرد و با مهار گیرنده‌های هیستامین نوع دو (H₂RA) ترشح اسید معده را کم می‌کند [۱۵]. رانیتیدین با اکسایش N-اکسایش S و دی متیل‌دارشن، دگرگشت^۸ می‌شود، ولی به طور عمده به عنوان داروی بدون تغییر از بین می‌رود. پس از تجویز خوراکی یا تزریقی حدود ۳۰ تا ۷۰ درصد بدون تغییر باقی‌مانده و از راه ادرار طی ۲۴ ساعت دفع می‌شود [۱۶].

در مطالعه حاضر، یک روش طیف‌سنجدی برپایه تجمع به عنوان یک روش ساده، سریع، ارزان و حساس، AuNPs برای تعیین رانیتیدین در آب آشامیدنی، قرص، سرم خون و ادرار انسان گزارش شده است. این روش می‌تواند در بسیاری از آزمایشگاه‌های داروسازی، تشخیص طبی، پاتولوژی و تصفیه خانه‌ها به صورت روشی متداول و دائمی برای تعیین

گذشته موجب پیدایش مشکل‌های زیبادی برای جانداران و محیط‌زیست شده است [۱].

آلینده‌های دارویی از جمله پادزیست‌ها، داروهای ضد افسردگی و غیره از راه ادرار و مدفعه، نفوذ فاصله‌های بیمارستانی و زیاله‌های دارویی به سفره‌های آب زیرزمینی وارد می‌شوند و بدلیل محلول‌بودن در آب، با فرایندهای ابتدایی که در تصفیه خانه‌های آب به کار گرفته می‌شوند، تصفیه نمی‌شوند [۲]. بنابراین، اندازه‌گیری و شناسایی ترکیب‌های دارویی در محیط‌های آبی برای محافظت از سلامت و ایمنی انسان، لازم است. از روش‌های متفاوتی برای تعیین داروهای متفاوت در نمونه‌های آبی و زیستی از جمله زیست‌واکنشگاه غشایی (MBR^۱)، سوانگاری مایع-یونش تراکمی جفت‌شده با طیف‌سنجدی جرمی^۲ [۴]، طیف‌سنجدی جرمی سوانگاری گازی^۳ (GC/MS) [۵]، سوانگاری مایع با عملکرد HPLC/Q-TOF بالا با طیف‌سنجدی جرمی زمان-پرواز (DLLME^۴) [۶]، میکرو استخراج مایع-مایع پخشی (HPLC^۵) [۷] استفاده شده است. با این حال، بسیاری از این روش‌ها وقت‌گیر هستند و نیاز به حللاهای آلی گران‌قیمت، ابزارهای پیشرفته و مربیان ماهر دارد [۸]. برای رفع این کاستی‌ها، روش‌های رنگ‌سنجدی مورد توجه بسیاری قرار گرفته است [۹]. برخلاف روش‌های دیگر، عملکرد ساده و مشاهده عینی از ویژگی‌های عالی این روش‌ها است [۱۰]. نانوذره‌های طلا (AuNPs) به دلیل ویژگی فیزیکی و شیمیایی ویژه‌ای که دارند، در کاربردهای زیستی و غیر زیستی جایگاه ویژه‌ای را به خود اختصاص داده‌اند. از جمله کاربردهای نانوذره‌های

1. Membrane bioreactor

2. Liquid chromatography-electrospray ionization tandem mass spectrometry

3. Gas chromatography mass spectrometry

4. High-performance liquid chromatography quadrupole time-of-flight mass spectrometry

5. Dispersive liquid–liquid microextraction

6. High-performance liquid chromatography

7. Ranitidine

8. Metabolism

الکترونی عبوری (TEM) مدل CM120 ساخت کشور هلند و همچنین، تعیین توزیع اندازه نانوذره‌ها، با دستگاه پراکنده‌ی نور پویا⁽¹⁾ مدل MALVERN ZEN3600 ساخت pH Lab Metrohm متر pH برای انگلستان انجام شد. pH Transferette برای تعیین pH، میکروپیپتھای ۱۰۰ و ۸۲۷ و ۱۰۰۰ میکرولیتری، IKA C-Transferette ساخت آلمان برای جابه‌جاکردن مایعات و همزن مغناطیسی Digital ۱۰ MAG HS برای گرمادهی و همزن مایعات به کارگرفته شد. از دستگاه فراصوت EYELA مدل Rikakikai ساخت کشور ژاپن برای همگنسازی مایعات، از دستگاه گریزانه Z206A HERMLE ساخت کشور آلمان برای جداسازی اجزای یک مخلوط مایع و از آون L Memeert برای خشک کردن شیشه‌آلات استفاده شد.

روش‌های آزمایش

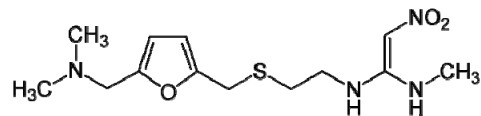
همه ظروف شیشه‌ای به کاررفته در این پژوهش با محلول ۱:۳ از HNO₃:HCl و سپس با آب مقطر دوبار تقطیر شسته، در آون خشک و در دمای محیط خنک شد.

آماده‌سازی نانوذرات طلا (AuNPs)

نانوذره‌ها طلا با روش ترکویج آماده‌سازی شد [۱۷]. نانوذره‌های طلا با کاوش تتراکلروآئوریک اسید (HAuCl₄.3H₂O) با سدیم سیترات تهیه شد. برای این کار، ۰۰۲۰۵ گرم از پودر زرد رنگ تتراکلروآئوریک اسید در مقداری آب مقطر دوبار تقطیر حل و به یک بالن ۱۰۰ میلی‌لیتری افزوده و تا خط نشانه به حجم رسانده شد (رنگ محلول زرد روشن است). سپس محلول در یک ارلن مایر ۲۵۰ میلی‌لیتری ریخته و یک مگنت وارد محلول و بر دستگاه گرم کن مجهز به همزن مغناطیسی با سرعت ۴۰۰ rpm قرار داده شد. گرم کن دستگاه روشن و محلول گرمادهی شد تا به جوش آید. هنگام جوشیدن بر ارلن یک شیشه ساعت حاوی مقداری یخ گذاشته تا از تبخیر محلول

داروی رانیتیدین با دستگاه طیفسنج فرابینش - مرئی به کارگرفته شود.

برخی از عامل‌های مؤثر مانند pH، زمان برهمنش، حجم و نوع بافر و قدرت یونی بهینه شدند.



شکل ۱ ساختار شیمیایی رانیتیدین

بخش تجربی

مواد شیمیایی

تری‌سدیم سیترات (C₆H₅Na₃O₇.2H₂O)، اکزالیک اسید (H₂C₂O₄.2H₂O)، سدیم دی‌هیدروژن فسفات (Na₃C₆H₅O₇), سرب (II) (NaH₂PO₄)، نیترات (Pb(NO₃)₂), قلع (II) (SnNO₃), نقره (II) (AgNO₃), منیزیم نیترات (Mg(NO₃)₂), آهن (II) (FeSO₄), مس (II) (CuSO₄), الومینیم کلرید (AlCl₃), باریم کلرید (BaCl₂), سدیم کلرید (NaCl), کلسیم کلرید (CaCl₂), روی کلرید (ZnCl₂), نیتریک اسید (HNO₃), هیدروکلریک اسید (HCl), سود (NaOH) و اسانول از شرکت مرک و تراکلروآئوریک اسید (HAuCl₄.3H₂O) از شرکت لوپاکمی خریداری شدند. رانیتیدین خالص و قرص رانیتیدین از شرکت داروسازی البرز دارو تهیه شد. در همه آزمایش‌ها، آب مقطر دو بار تقطیر به کارگرفته شد.

دستگاه‌ها

توزین مواد با ترازوی Sartorius مدل ۱S-۱۲۴ Practum ساخت کشور آلمان با دقت ۰/۰۰۰۱ گرم، و ثبت مقدار جذب نمونه با طیفسنج UV-Vis مدل ۱۰۰ Varian Cary ساخت شرکت Agilent بررسی شد. مشخصات ریخت نانوذره‌های طلا، با دستگاه میکروسکوپ

1. Dynamic light scattering (DLS)

سال پانزدهم، شماره ۱، بهار ۱۴۰۰

نشریه پژوهش‌های کاربردی در شیمی (JARC)

داروی رانیتیدین به محلول به دست آمده افزوده شد. محلول به دست آمده به مقدار مشخصی نانوذره طلا افزوده و جذب آن با شرایط بهینه ثبت شد.

آماده‌سازی نمونه ادرار انسان

نمونه ادرار انسان مصرف کننده قرص رانیتیدین به مدت ۱۰ دقیقه در دستگاه گریزانه با سرعت ۴۰۰۰ rpm (دور بر دقیقه) قرار داده شد و مایع شفاف سرریز، سپس به یک بالن ۱۰ میلی‌لیتری افزوده شد. پس از آن، غلظت‌های متفاوتی از داروی رانیتیدین به محلول به دست آمده افزوده شد. با افزودن مقدار مشخصی نانوذره طلا به محلول به دست آمده، جذب آن در شرایط بهینه تعیین شد.

آماده‌سازی نمونه آب آشامیدنی

در این مرحله، بدون آماده‌سازی نمونه، غلظت‌های متفاوتی از داروی رانیتیدین به آب آشامیدنی افزوده شد. سپس، این محلول به مقدار مشخصی نانوذره طلا افزوده و اندازه‌گیری تحت شرایط بهینه انجام شد.

جلوگیری شود. پس از جوشیدن در ۵ تا ۶ مرحله، هر بار حدود یک میلی‌لیتر از محلول تری‌سدیم سیترات ۱/۱٪ وزنی افزوده شد تا تغییر رنگ از زرد خیلی روشن بالاصله به خاکستری و خیلی سریع به رنگ قرمز شرابی درآید. گرمادهی و هم‌زدن ۱۰ دقیقه ادامه یافت و سپس، دستگاه همزن مغناطیسی خاموش و محلول در دمای اتاق خنک شد. دوباره محلول را در بالن ۱۰۰ میلی‌لیتری ریخته و اگر کاهش حجم داشت، با آب مقطر تا خط نشانه به حجم رسانده و در ظروف تیره رنگ در دمای ۴°C و دور از نور نگهداری شد. غلظت نانوذره به دست آمده $^{4\times 5}\times 10^{-5}$ مول بر لیتر بود. سپس، برای تعیین غلظت‌های متفاوت نانوذره‌ها، محلول به دست آمده، رقیق شد.

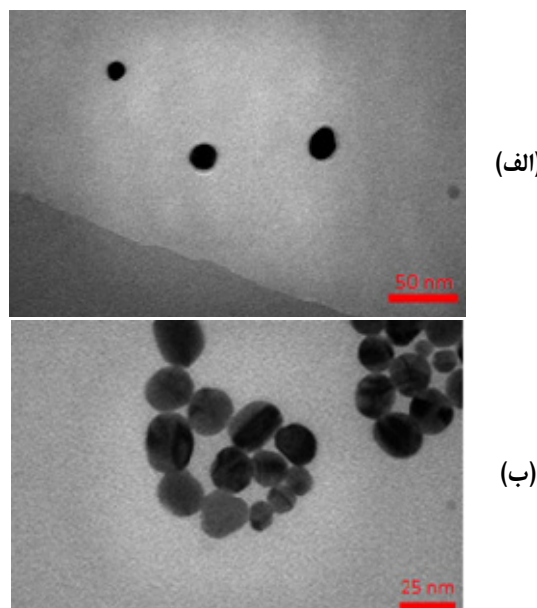
آماده‌سازی محلول مادر رانیتیدین بدین منظور ۰/۱ گرم از این دارو در داخل یک بالن ۱۰۰ میلی‌لیتری ریخته و با آب مقطر دوبار تقطیر تا خط نشانه به حجم رسانده و برای مراحل بعدی آزمایش، رقیق‌سازی انجام شد.

آماده‌سازی محلول قرص رانیتیدین

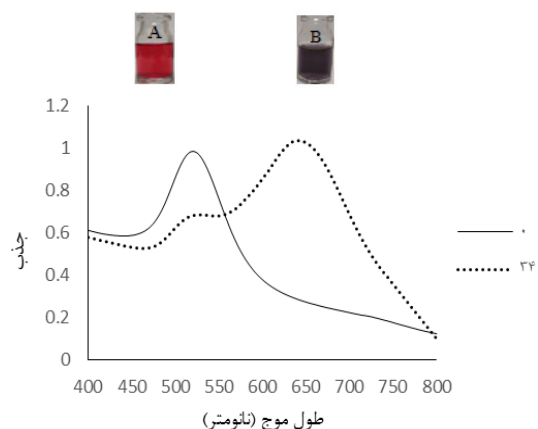
۱۰ عدد قرص رانیتیدین پودر و مقدار ۰/۱ گرم از آن در مقداری آب مقطر دوبار تقطیر ریخته شد. پس از آن ۱۰ دقیقه در دستگاه گریزانه با سرعت ۴۰۰۰ rpm (دور بر دقیقه) قرار داده شد و مایع شفاف بالایی سرریز و از کاغذ صافی عبور داده شد. سپس، محلول به یک بالن ۱۰۰ میلی‌لیتری ریخته و تا خط نشانه به حجم رسانده شد. در انتهای محلول به دست آمده به مقدار مشخصی نانوذره طلا افزوده و تحت شرایط بهینه جذب آن اندازه‌گیری شد.

آماده‌سازی نمونه سرم خون

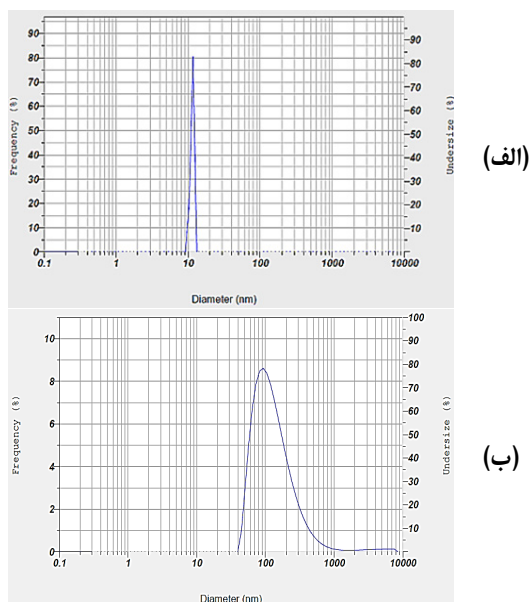
نمونه خون انسان مصرف کننده قرص رانیتیدین را به مدت ۱۰ دقیقه در دستگاه گریزانه با سرعت ۴۰۰۰ rpm (دور بر دقیقه) قرار داده، سپس مایع شفاف سرریز و به یک بالن ۱۰ میلی‌لیتری افزوده شد. پس از آن غلظت‌های متفاوتی از



شکل ۳ تصاویر TEM نانوذره‌های طلا بدون حضور (الف) و با حضور RAN (ب)



شکل ۲ طیف UV-Vis نانوذره‌های طلا بدون حضور (A) و با حضور رانیتیدین (B)



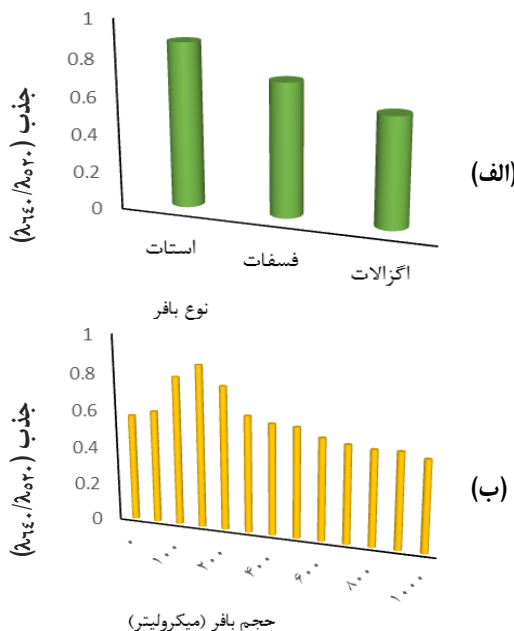
شکل ۴ نمودار DLS نانوذره‌های طلا بدون حضور (الف) و با حضور RAN (ب)

ویژگی‌های AuNPs از تصویرهای TEM در حضور و بدون حضور RAN به ترتیب در شکل‌های ۳-الف و ۳-ب نشان داده شده است. همان‌طور که مشاهده می‌شود، پیش از افزودن RAN، AuNP‌ها به خوبی پراکنده و کوچک هستند. از طرف دیگر، پس از افزودن RAN، تجمع نانوذره‌ها رخ داده است. توزیع اندازه نانوذره‌ها در حضور و بدون حضور RAN با DLS^۱ در شکل شکل‌های ۴-الف و ۴-ب مشخص شده است. همان‌گونه که مشاهده می‌شود قله نمودار توزیع، پیش و پس از افزودن RAN به ترتیب در ۱۰ و بیشتر از ۱۰۰ نانومتر است.

1. Dynamic light scattering

اثر نوع و حجم بافر

تاثیر بافرهای متفاوت و نیروی یونی آن‌ها بر شدت نسبی جذب نانوذره طلا در تعیین RAN بررسی شد. هر جا که نسبت جذب ($\lambda_{\text{RAN}}/\lambda_{\text{Hg}}$) به بالاترین مقدار خود برسد، نانوذره‌ها بیشینه تجمع را خواهند داشت. نتیجه‌ها نشان داد که شدت نسبی جذب در بافر استات بیشتر از بافرهای دیگر است. (شکل ۶-الف) همچنین، مقدار بهینه بافر استات ۱۵۰ میکرولیتر بود (شکل ۶-ب). بنابراین، ۱۵۰ میکرولیتر از بافر استات ۱ مولار، به عنوان بافر بهینه به منظور ثابت pH در تعیین RAN به کاررفت.

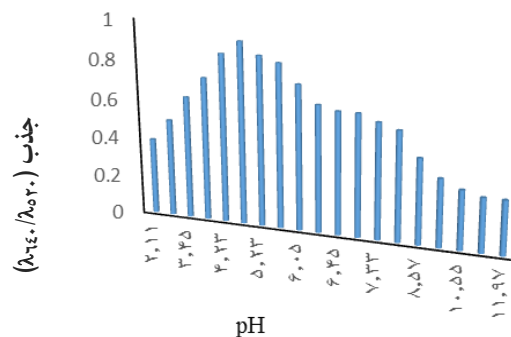


شکل ۶ اثر نوع بافر (الف) و حجم بافر (ب) بر تشید پلاسمون سطحی

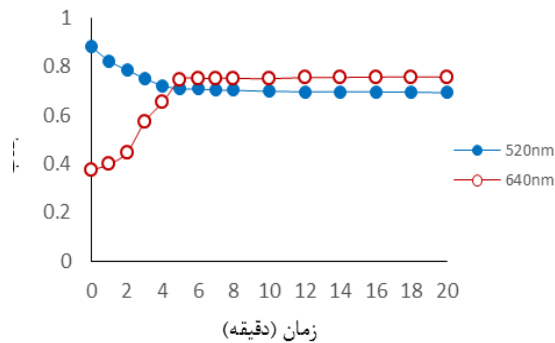
اثر غلظت AuNPs

غلظت‌های متفاوت AuNPs در گستره ۰/۱ تا ۱۰۰ نانومول بر لیتر برای بررسی حساسیت روش پیشنهادی مورد بررسی قرار گرفت. هر جا که شدت نسبی جذب به بالاترین مقدار خود برسد، نانوذره‌ها بیشترین تجمع را خواهند داشت. برپایه شکل ۷، با افزایش غلظت AuNPs تا

بهدلیل حضور گروه‌های هیدروکسیل، کربوکسیل و آمین در محلول‌های مورد استفاده، pH عامل مهمی بود که باید در نظر گرفته می‌شد و pH محلول نقش مهمی در تجمع AuNPs دارد. اثر pH در گستره ۲ تا ۱۲ برای محلول‌های آبی حاوی ۳۴ میکروگرم بر لیتر از RAN بررسی شد. به منظور تنظیم pH، حجم مناسب هیدروکلریک اسید و سدیم هیدروکسید به محلول‌ها افزوده شد و تغییرات pH با متر pH اندازه‌گیری شد. برهمکنش‌های الکترواستاتیک عامل اصلی تجمع نانوذره‌های طلا در حضور این مواد هستند. با در نظر داشتن این مسئله، برای افزایش احتمال برهمکنش الکترواستاتیک، بهترین شرایط زمانی که در آن نسبت جذب ($\lambda_{\text{RAN}}/\lambda_{\text{Hg}}$) به بالاترین مقدار خود برسد، قابل دستیابی است. فرض براین است که نانوذره‌ها بیشترین تجمع را خواهند داشت و خوشای شدن رخ می‌دهد [۱۸]. همان‌طور که در شکل ۵ نشان داده شده است، نانوذره‌های طلا تهیه شده در pH برابر با ۰/۷۵ پایدار است. گونه‌ها نیز بهترین ساختار برای برهمکنش با نانوذره‌های طلا را در این pH داشتند و تشید پلاسمون سطح در حضور RAN بهبود یافت. بنابراین، pH برابر با ۰/۷۵ برای مطالعه بیشتر انتخاب شد.

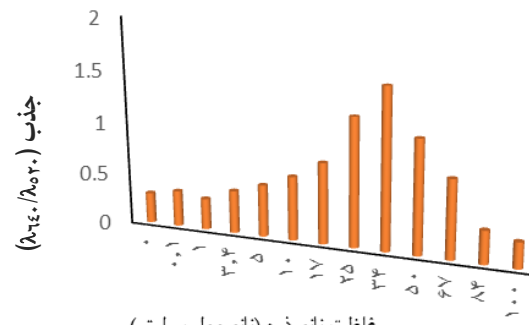


شکل ۵ اثر pH بر تشید پلاسمون سطحی



شکل ۸ اثر زمان بر تشدید پلاسمون سطحی

۳۴ نانومول بر لیتر، نسبت جذب $640/520$ افزایش می‌یابد و با افزایش بیشتر از ۳۴ نانومول بر لیتر، به علت اینکه نانوذره‌ها به طور معمول بار دارند در غلظت‌های بالاتر تراکم بارهای الکتریکی بین یون‌ها بیشتر شده و دافعه الکترواستاتیک بین یون‌ها بیشتر از نیروی جاذبه می‌شود. به همین دلیل تجمع نانوذره‌ها طلا کاهش یافته و در نتیجه شدت جذب در طول موج $640/520$ کاهش می‌یابد. بنابراین، مقدار بار الکتریکی از یک حدی به بعد تاثیر عکس دارد. [۱۹]. در نتیجه برای مطالعه‌های بیشتر، غلظت مطلوب 34 نانومول بر لیتر انتخاب شد.



شکل ۷ اثر غلظت AuNPs بر تشدید پلاسمون سطحی

قدرت یونی نقش مهمی در فرایند تجمع دارد که می‌توان به توانایی الکتروولیت‌های قوی در محدود کردن لایه دوگانه الکتریکی ناشی از ماده پوشش‌دهنده، نسبت داد. نانوذره‌ها به طور معمول بار دارند و نسبت به تعییرات دی الکتریک محلول، بسیار حساس هستند. NaCl از الکتروولیت‌های قوی به حسا می‌آید. بنابراین، به طور موثری می‌تواند بار الکتریکی محلول را تحت تاثیر قرار دهد و منجر به کاهش فاصله بین ذره‌ای و در نهایت تجمع ذره‌ها شود [۱۹]. برای مطالعه اثر قدرت یونی، از غلظت‌های متفاوت NaCl در گستره صفر تا 5 میکروگرم بر لیتر استفاده شد. تعییرهای بار الکتریکی با کمیت ثابت دی الکتریک (ϵ) توصیف می‌شود. شکل ۹ نشان می‌دهد، با افزایش غلظت NaCl تا 0.5 میکروگرم بر لیتر، مقدار اثرگذاری ϵ بیشتر شده، شدت نسبی جذب افزایش و فاصله بین ذره‌ها کاهش یافته است. همچنین، نانوذره‌ها تجمع یافته‌اند. با افزایش غلظت NaCl بیش از 0.5 میکروگرم بر لیتر، فاصله بین ذره‌ها کاهش یافته و دافعه الکترواستاتیک بین یون‌ها بیشتر از نیروی جاذبه شده است، به همین دلیل تجمع نانوذره‌ها کاهش می‌یابد. بنابراین، غلظت 0.5 میکروگرم بر لیتر مقدار بهینه است.

اثر زمان برهمکنش زمان‌های متفاوت برهمکنش بین AuNPs و RAN (صفر تا 20 دقیقه) بر طیف‌های جذب، مورد بررسی قرار گرفت. همان‌طور که در شکل ۸ نشان داده شده است، تعییر قابل توجهی در جذب پس از 5 دقیقه مشاهده نشد. بنابراین، یکی از مزایای این روش، بیشینه جذب در زمان کوتاه (5 دقیقه) است.

RAN ترسیم شد. معادله خطی خوبی با روش پیشنهادی در گستره ۲۵ تا $1\text{-}\mu\text{g}^{-1}$ نشان داده شد. بهترین نتیجه مربوط به غلظت ۳۴ ppb بود زیرا تجمع نانوذره‌ها، کامل شد و تعییر رنگ محلول از قرمز به آبی مشاهده شد (شکل ۱۱). همچنین، یک جایه‌جایی قرمز از ۶۴۰ تا ۵۲۰ نانومتر داشتیم. افزون براین، حد تشخیص (LOD) و حد تعیین کمی (LOQ) با استفاده از معادله‌های ۱ و ۲ محاسبه شد.

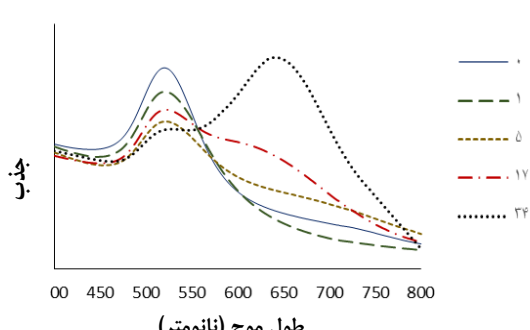
$$\text{LOD} = y_B + 3s_B \quad (1)$$

$$\text{LOQ} = y_B + 10s_B \quad (2)$$

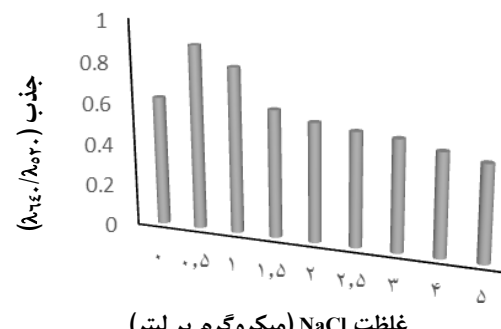
در آن‌ها، y_B و s_B به ترتیب عرض از مبدأ خط واپاش و انحراف استاندارد شاهد را نشان می‌دهند [۲۰]. LOD و LOQ به ترتیب $1/۴۵$ و $1/۶۳$ میکروگرم بر لیتر تخمین زده شد. نتیجه‌ها نشان دهنده حساسیت بالای این روش برای تعیین RAN است، همچنین، ضریب تعیین ($R^2 = ۰/۹۵۵$) بود که نشان دهنده برآش خوب منحنی است.



شکل ۱۰ تصاویر واکنش رنگ‌ستنجی AuNPs-RAN با غلظت‌های متفاوت RAN (غلظت‌های A, D, C, B, E به ترتیب برابر با صفر، ۱، ۵، ۱۷ و 34 mg l^{-1} هستند).



شکل ۱۱ طیف‌های فرابنفش-مرئی AuNPs-RAN در غلظت‌های متفاوت



شکل ۹ اثر قدرت یونی بر تشدید پلاسمون سطحی

بررسی اثر یون‌های مزاحم

انتخاب روش پیشنهادی با افزایش یون‌های متفاوت مانند Sn^{2+} , SO_4^{2-} , Fe^{2+} , Na^+ , Ag^+ , Cu^{2+} , Ca^{2+} , Ba^{2+} , Zn^{2+} , Mg^{2+} , NO_3^- , Cl^- , Pb^{2+} , Al^{3+} به محلول‌های حاوی مقدار ثابت RAN و AuNPs برسی شد. نتیجه‌ها در جدول ۱ آورده شده است. همان‌طور که مشاهده می‌شود، تداخل با Na^+ , Ba^{2+} , Mg^{2+} و Pb^{2+} بسیار ضعیف است. در بین یون‌های آزمایش شده، غلظت‌های به نسبت زیاد Ag^+ , SO_4^{2-} و NO_3^- مجاز است ولی Al^{3+} , Fe^{2+} , Zn^{2+} , Cl^- فقط در غلظت‌های به نسبت کم مجاز هستند (۱۰ برابر غلظت RAN). غلظت مجاز این یون‌های مزاحم بیشتر از غلظت RAN است که نشان دهنده گزینش‌بذری خوبی بین دارو و سایر گونه‌ها است.

جدول ۱ اثر یون‌های مزاحم بر تعیین RAN

غلظت قابل تحمل ([X] / [RAN])	گونه‌های مداخله کننده
۱۰۰۰ برابر	Mg^{2+} , Pb^{2+} , Na^+ , Ba^{2+}
۱۰۰ برابر	NO_3^- , SO_4^{2-} , Ag^+
۱۰ برابر	Al^{3+} , Cl^- , Fe^{2+} , Zn^{2+}

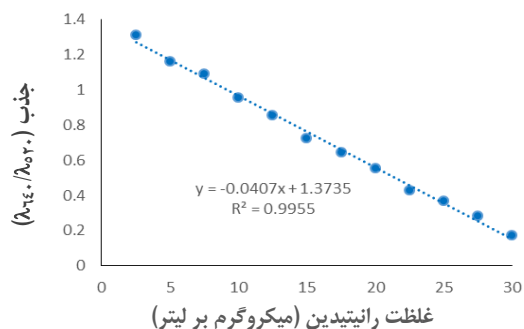
کاربردهای تجزیه‌ای

تصاویر رنگ‌ستنجی، طیف‌های UV-Vis و نمودار واسنجی در شکل‌های ۱۰ تا ۱۲ نشان داده شده‌اند. برای به دست آوردن نمودار واسنجی، نسبت جذب در برابر غلظت

جدول ۲ تعیین RAN در نمونه‌های واقعی (n=۳)

RSD (%)	بازیابی (%)	RAN بددهست آمده ($\mu\text{g l}^{-1}$)	RAN افزوده شده ($\mu\text{g l}^{-1}$)	نمونه
۹	---	۱۳۸	۰	قرص
۸	۹۸,۱۷	۱۳۶۶	۱۲,۵	
۶	۹۳,۵۷	۲۴,۷۸	۲۵	
۳	---	---	۰	
۹	۹۹,۶۹	۱۲,۴۷	۱۲,۵	آب آشامیدنی
۲	۱۰۱,۸۸	۲۵,۴۸	۲۵	
۸	---	۰,۶۹	۰	سرم خون
۱۰	۱۰۱,۸۷	۱۳,۴۲	۱۲,۵	
۹	۹۶,۳۷	۲۴,۷۸	۲۵	
۹	---	۰,۴۳	۰	ادرار انسان
۴	۱۰۱,۰۷	۱۳,۰۶	۱۲,۵	
۷	۹۷,۱۵	۲۴,۷۱	۲۵	

مقایسه روش خاصر با روش‌های دیگر
جدول ۳ مقایسه‌ای بین روش پیشنهادی و سایر روش‌ها
را نشان می‌دهد. LOD و LOQ پژوهش حاضر از
روش‌های گزارش شده برای LC، LC-SPE و HPLC و MS/MS
بهتر است. افزون‌براین، ابزارهای تجزیه
سایر روش‌های گزارش شده پیچیده‌تر هستند.



شکل ۱۲ نمودار واسنجی $۲/۵ \text{ تا } ۳۰ \mu\text{g l}^{-1}$ رانیتیدین

بررسی نمونه‌های واقعی
تأثیر روش پیشنهادی از نظر کاربرد و اعتبارسنجی با تعیین
مقادیر بسیار کمی از RAN در قرص، آب آشامیدنی، سرم خون
و ادرار انسان مورد بررسی قرار گرفت. محلول‌های استاندارد
RAN با غلظت‌های متفاوت به نمونه‌های واقعی افزوده شدند.
سرانجام، RAN با روش پیشنهادی تعیین شد. نتیجه‌ها، از جمله
درصد بازیابی و درصد انحراف استاندارد نسبی (RSD) در جدول
۲ آورده شده است. همان طور که مشاهده می‌شود، نتیجه‌های
نمونه‌های واقعی رضایت‌بخش بود و نشان داد که تعیین مقادیر
کم غلظت RAN با روش پیشنهادی با سرعت بالا امکان‌پذیر
است.

جدول ۳ مقایسه روش پژوهش حاضر با روش‌های دیگر گزارش شده در مقاله‌ها برای تعیین RAN

ردیف	روش‌های تجزیه و تحلیل	گستره خطی ($\mu\text{g l}^{-1}$)	LOD ($\mu\text{g l}^{-1}$)	LOQ ($\mu\text{g l}^{-1}$)	نوع نمونه	منبع
۱	SDME-LC-MS*/MS	۰.۰۲۸-۱۵	۰.۰۰۹۴	۰.۰۲۸	نمونه‌های آب	[۲۱]
۲	(LC)	۵۰-۱۵۰۰	۵	۱۵	پلاسمای خون	[۲۲]
۳	LC-SPE**	۸-۸۰۰	۲	۸	پلاسمای خون	[۲۳]
۴	LC-MS/MS	۱۰-۵۰۰	۳	۱۰	خون	[۲۴]
۵	HPLC***	۵۰-۲۰۰۰	۱۰	۵۰	پلاسمای خون	[۲۵]
۶	طیفسنجی فراینفش-مرئی	۲۵-۳۰	۱/۴۵	۱/۶۳	آب آشامیدنی، قرص، سرم خون و ادرار انسان	پژوهش حاضر

* Single drop microextraction coupled with liquid chromatography-tandem mass spectrometry

** Liquid chromatographic-solid phase extraction

*** High Performance Liquid Chromatography

گرفت که روش پیشنهادی از حساسیت و گزینش‌پذیری خوبی برای اندازه‌گیری RAN برخوردار است. افزون‌براین، اندازه‌گیری با این روش، ساده و کم هزینه است و برخلاف روش HPLC، هیچ فرایند آماده‌سازی اولیه در این روش انجام نشده است و تعیین RAN در ۵ دقیقه در محلول‌های آبی امکان‌پذیر است. نتیجه‌های اندازه‌گیری RAN در نمونه‌های مختلف مانند آب آشامیدنی، قرص، سرم خون و ادرار انسان نشان‌دهنده صحت روش پیشنهادی است.

نتیجه‌گیری

در این مطالعه، یک روش حساس و انتخابی به نام «رنگ‌سنجی» برای تعیین RAN در آب آشامیدنی، فرمولاسیون دارویی و نمونه‌های زیستی با استفاده از AuNPs معرفی شد. پیک جذبی SPR نانوذره‌های طلا پایه این روش است. تعیین RAN می‌تواند با چشم غیر مسلح و روش طیفسنجی UV-Vis انجام شود. همچنین، با توجه به حد تشخیص پایین و مزاحمت پایین یون‌ها می‌توان نتیجه

مراجع

- [1] Verlicchi, P.; Galletti, A.; Petrovic, M.; Barcel, D.; J. Hydrology 389, 416-428, 2010.
- [2] Giraldo, A.L.; Penuela, G.A.; Torres, P.R.A.; Pino, N.J.; Palominos, R.A.; Mansilla, D.; Water Research 44, 5158-5167, 2010.
- [3] Radjenovic, J.; Petrovic, M.; Barcelo, D.; Anal Bioanal Chem 387, 1365-1377, 2007.
- [4] Miao, X.S.; Metcalfe, C.D.; Journal of Chromatography A 998, 133-141, 2003.
- [5] Qureshi, T.; Memon, N.; Memon, S.Q.; Shaikh, H.; American Journal of Modern Chromatography 1, 45-54, 2014.
- [6] Martin, J.; Buchberger, W.; Luis Santos, J.; Alonso, E.; Aparicio, I.; Journal of Chromatography B 895- 896, 94- 101, 2012.
- [7] Yeon Park, S.; Myung, S.W.; Bulletin of the Korean Chemical Society 36, 2901-2906, 2015.
- [8] Kazerooni, H.; Bahreyni, A.; Ramezani, M.; Abnous, K.; Mohammad Taghdisi, S.; Nanomed, J 6, 105-111, 2019.
- [9] Qi, M.; Tu, C.; Dai, Y.; Wang, W.; Wang, A.; Chen, J.; Analytical Methods 10, 3402-3407, 2018.
- [10] Awual, R.; Hasan, M.; Sensors and Actuators B 206, 692-700, 2015.

- [11] Masoudyfar, Z.; Elhami, Sh.; Spectrochimica Acta Part A: Molecular and Biomolecular Spectroscopy 211, 234–238, 2019.
- [12] Wang, R.; Fan, Sh.; Wang, R.; Wang, R.; Dou, H.; Wang, L.; NANO: Brief Reports and Reviews 8, 4, 1350037-1–9, 2013.
- [13] Hohnjec, M.; Kuftinec, J.; Malnar, M.; Blazevic, N.; Anal. Profiles Drug Subst 15, 533–561, 1986.
- [14] Vediappan, K.; Lee, Ch.W.; Current Applied Physics 11, 995–1000, 2011.
- [15] Grand, S.M.; Langtry, H.D.; Brogden, R.N.; Drugs 37, 801–870, 1989.
- [16] Lima, L.S.; Weinert, P.L.; Lemos, S.C.; Sequinel, R.; Pezza, H.R.; Pezza, L.; Spectrochimica Acta Part A 71, 1999–2004, 2009.
- [17] Turkevich, J.; Cooper Stevenson, P.; Hillier, J.; Discuss. Faraday Soc. 11, 55–75, 1951.
- [18] Bahram, M.; Madrakian, T.; Alizadeh, S.; Journal of Pharmaceutical Analysis 7, 411–416, 2017.
- [19] Madrakian, T.; Afkhami, A.; Borazjani, M.; Bahram, M.; Spectrochimica Acta. Part A 52, 1544–1550, 2005.
- [20] Miller, J.N.; Miller, J.C.; “Statistics and Chemometrics for Analytical Chemistry”, 6th Ed., Prentice Hall, USA, 2019.
- [21] Kiszkiel-Taudul, I.; Starczewska, B.; Microchemical Journal 145, 936–941, 2019.
- [22] Perez, C.F.; Olguin, H.J.; Perez, J.F.; Lopez, A.T.; Asseff, I.L.; Garcia, C.A.; Journal of Chromatography B 795, 141–144, 2003.
- [23] Hare, L.G.; Mitchel, D.S.; Millership, J.S.; Collier, P.S.; McElnay, J.C.; Shields, M.D.; Carson, D.J.; Fair, R.; Journal of Chromatography B 806, 263–269, 2004.
- [24] Yakkundi, Sh.; Millership, J.; Collier, P.; Shields, M.D.; McElnay, J.; Journal of Pharmaceutical and Biomedical Analysis 56, 1057–1063, 2011.
- [25] Kokoletsi, M.X.; Kafkala, S.; Tsaganis, M.; Journal of Pharmaceutical and Biomedical Analysis 38, 763–767, 2005.

Ultra trace determination of Ranitidine in drinking water, tablet, serum (blood), and human urine by a colorimetric method based on the aggregation of gold nanoparticles

Maryam Moradi¹, Mahmoud Reza Sohrabi^{2,*}, Saeid Mortazavinik³

1. PhD student in Analytical Chemistry, Department of Chemistry, North Tehran Branch, Islamic Azad University, Tehran, Iran.

2. Prof. of Analytical Chemistry, Department of Chemistry, North Tehran Branch, Islamic Azad University, Tehran, Iran.

3. Assistant Prof. of inorganic Chemistry, Department of Chemistry, North Tehran Branch, Islamic Azad University, Tehran, Iran

Abstract: This research introduces a simple, sensitive, and rapid ultraviolet-visible spectrophotometry method for determination of ultra-trace amount of Ranitidine (RAN) in several sample such as drinking water, tablet, serum (blood), and human urine using gold nanoparticles (AuNPs). The surface plasmon resonance (SPR) property of AuNPs and the interaction between RAN and AuNPs is the base of this method. The addition of RAN into AuNPs led to the aggregation of AuNPs. Transmission electron microscopy (TEM) proved aggregation of AuNPs in the presence of RAN. Also, the size of the nanoparticles distribution was evaluated by dynamic light scattering (DLS). The parameters that affect the absorbance such as pH, type and volume of buffer, AuNPs concentration, interaction time, ionic strength, and interfering ions were investigated and optimized. Linear range was obtained 25-300 $\mu\text{g L}^{-1}$ in the optimum conditions. Also, the correlation coefficient ($R^2=0.9955$) and the limit of detection (LOD), and limit of quantification (LOQ) were equal to 1.45 $\mu\text{g L}^{-1}$, and 1.63 $\mu\text{g L}^{-1}$, respectively. In addition, the effect of interfering species was investigated. Eventually, the results showed that the proposed method had a high potential for rapid, sensitive, and accurate determination of RAN.

Keywords: Colorimetric, Ranitidine, Gold nanoparticles, Surface plasmon resonance, spectrophotometry, Ultra-trace

* Corresponding author Email: m_sohrabi@IAU-tnb.ac.ir

Journal of Applied Research in Chemistry